

# اندازه‌گیری قطر و تعیین میزان پرز آلدگی نخ به کمک پردازش تصویر

مسعود لطیفی  
دانشیار

مجید صفرجوهری  
دانشیار

حمید تاجری  
فارغ التحصیل کارشناسی ارشد

محمد امانی تهران  
دانشجوی دکترا

دانشکده مهندسی نساجی، دانشگاه صنعتی امیرکبیر

چکیده

هدف از انجام این تحقیق تهیه یک مجموعه سخت افزاری و نرم افزاری می باشد که توسط آن بتوان به کمک اطلاعات حاصل از تصاویر کامپیوتری نخ و پردازش بر روی آنها، به روش تصویری و ریاضی، هر زین پرزها و بدنه اصلی نخ را مشخص کرده و با استفاده از آن قطر و میزان پرز آلدگی نخ را تعیین نمود.

## Measurement of Yarn Diameter and Hairiness by Means of Image Analysis System

M. Johsri  
Associate Professor

M. Latifi  
Associate Professor

M. Amani  
Ph. D. Student

H. Tajeri  
M. Sc. Student

Textile Engineering Department,  
Amirkabir University of Technology

### Abstract

The aim of the present work is to design and fabricat a computerized system which can graphically and mathematically analyze the Image of yarn in order to determine the boundry of the yarn's core and hairs and calculate the value of yarn diameter and hairiness.

## مقدمه

روش همسایگی حذف گردیده و از روی تصاویر حاصل، متوسط قطر محاسبه می‌گردد.

آنچه که از بررسی این دو تحقیق مشخص می‌گردد، آن است که عملیات‌های به کار رفته در آنها علاوه بر زمان گیر بودن، حاوی ضمانت عملی جهت گزارش یک قطر واقعی نمی‌باشد. بنابراین ارائه روشی که در آن تنها یک عدد برای قطر در تمامی طول نخ اعلام شود، ارجحیت دارد.

میزان پرزآلودگی نخ نیز به صورت مجزا از قطر آن با استفاده از روش‌های وزنی [۴]، نوری [۵] و فتوالکتریکی [۶] اندازه‌گیری شده است.

در پژوهش حاضر با توجه به روش‌های ارائه شده مختلف، سعی بر آن است تا با استفاده از اطلاعات تصاویر کامپیوتربنی نخ و پردازش آنها به صورت تصویری و ریاضی هر دو عامل قطر و میزان پرزآلودگی را به طور همزمان تعیین نمود. بر این اساس لازم است تا در ابتدامفهوم دقیق واژه‌های نخ، قطر و پرزآلودگی آن به صورتی که در انجام این پژوهش به کار رفته، بیان گردد.

### ۱-۱- نخ

در این تحقیق نخ در دو بعد و به صورت یک تابع تراکمی از الیاف برحسب مکان تعریف شده است که در ناحیه‌ای به نام بدنه یا هسته دارای رفتار فشردگی (شکل ۱-۱) و در ناحیه‌ای دیگر به نام پرز دارای رفتار پراکندگی می‌باشد. (شکل ۱-۱) فصل مشترک این دو ناحیه که در آنچا تابع تراکمی از نظر پردازش عددی دارای تغییرات ناگهانی می‌باشد، به نام خط مرزی نامیده می‌شود (شکل ۱-۱).

### ۱-۲- قطر نخ

فاصله بین دو خط مرزی که در دو طرف نخ مشخص می‌گردد، به عنوان قطر نخ در نظر گرفته می‌شود.

### ۳-۱- میزان پرزآلودگی نخ

عبارت است از حاصل نسبت سطح کل اشغال شده توسط نخ در یک فاصله شعاعی مشخص به سطح اشغال شده توسط بدنه اصلی نخ در همان فاصله.

قطر و پرزآلودگی از ویژگی‌های بسیار مهم نخ جهت تعیین کیفیت آن می‌باشد. این عوامل ضمن ارتباط داشتن با خواصی همچون استحکام، میزان تاب مورد نیاز، آرایش یافته‌گی و ... بر خواص دیگری از جمله خاصیت اصطکاکی، پوشانندگی، سایشی و ... و نیز برخواص منسوج حاصل از آن مانند افتادگی، خاصیت حرارتی، رطوبتی، هندسه پارچه و ... تأثیر بسزایی دارد.

اندازه‌گیری قطر به روش معمول بصری به سبب موبی بودن نخ (پرزدار بودن سطح نخ) همیشه مورد اختلاف نظر بوده است. این بین علت است که تشخیص مرز بین هسته و پرزها بستگی به نظر شخص آزمایش کننده داشته و در نتیجه جواب‌های به دست آمده از یک فرد تا فرد دیگر متفاوت می‌گردد. در تحقیقاتی که تاکنون انجام گرفته، روش‌های دیگری نظری استفاده از حازن‌های القایی [۱]، اندازه‌گیری نوری [۲] و استفاده از تصویرهای کامپیوتربنی [۳] جهت اندازه‌گیری قطر و تعیین یکنواختی به کار گرفته شده است که بعضی به صورت آزمایش‌های ممتد و بعضی دیگر به صورت مراحله‌ای می‌باشند. در روش‌های ممتد که نخ به طور مداوم از زیر یک دوربین ویدیویی عبور می‌کند، از آنجایی که فرصت لازم جهت ضبط و پردازش تصویری از یک قسمت نخ موجود نمی‌باشد، از اطلاعات خروجی دوربین جهت تعیین نایکنواختی قطری نخ استفاده گردیده است [۷].

در تحقیقی که اساس آن شیوه غیرمداوم می‌باشد [۸]، برای تعیین قطر نخ ابتدا تصاویری در فواید مساوی از نخ دریافت شده و روی صفحه نمایشگر ظاهر می‌گردد. پس از دودوی (سیاه و سفید) شدن تصاویر، لبه‌های کناری نخ (مرز نخ) با رسم تغییرات تعداد نقاط سیاه در هر ردیف نسبت به ردیف قبل، مشخص می‌شود. برای محاسبه قطر نیز با کمک یک روش ابداعی، کوتاهترین فاصله بین دو لبه نخ در فواید مساوی از طول نخ به دست آمده و میانگین آنها به عنوان قطر گزارش می‌شود. اشکال اساسی این روش استفاده از متوسط گیری‌های عددی است که بر حسب لبه‌های متفاوت به دست آمده، و به صورت حسابی متوسط گیری می‌شوند.

در تلاش دیگر [۹] جهت اندازه‌گیری قطر نخ، به طور مشابه بعد از تهیه تصاویر سیاه و سفید بر روی نمایشگر، مجموعه نقاط تشکیل دهنده پرن با استفاده از

## ۲- کارهای انجام گرفته

### ۱- تهیه مجموعه سخت افزاری و نرم افزاری

#### مورد نیاز

نمودار مجموعه دریافت و ضبط تصویر در شکل (۲) نشان داده شده است. در این مجموعه از یک میکروسکوپ نوری مجهز به سیستم عدسی گردان با بزرگنمایی‌های مختلف و یک دوربین ویدیویی جهت دریافت علامت تصویری نخ، استفاده شده است. علاوه بر این توسط یک رقومی کننده به صورت دیجیتال درآمده و سپس توسط یک پردازشگر به صفحه نمایش ارسال و نیز در حافظه ذخیره می‌گردد. نرم افزار آماده‌ای که ارتباط بین سخت افزارها را برقرار می‌سازد، به نحوی تنظیم می‌شود تا اطلاعات تصویر نخ را با قالب گرافیکی PCX و در ۲۵۶ سطح خاکستری در یک فایل ضبط می‌نماید.

یک مجموعه مکانیکی نیز طراحی گردیده تا با پیچش نخ، قسمت‌های مختلفی از آن را به صورت افقی و با کشیدگی قابل تنظیم در حدی که نخ به صورت مستقیم نگهداری شود، در زیر میکروسکوپ ثابت نگهدارد. مقدار کشیدگی لازم با استفاده از یک وزنه ۵ گرمی تأمین گردید و آزمایش‌های مقدماتی نشان داد که تغییرات مقدار کشیدگی در این محدوده، بر قطر نخ تأثیری ندارد.

### ۲- تهیه نرم افزار جهت پردازش و اندازه‌گیری

با استفاده از زبان برنامه نویسی Pascal نرم افزاری تهیه گردید تا مراحل عملیاتی ذیل را به انجام برساند:

**۱- بازیابی فایل PCX و دودویی سازی تصویر نخ**  
نظر به اینکه تجزیه و تحلیل تصویر در ۲۵۶ سطح خاکستری بسیار وقت‌گیر بوده و به علاوه ضروری نیز نمی‌باشد، شدت روشنایی هر نقطه بعد از بازیابی از فایل اطلاعاتی با مقایسه با مقدار دروازه‌ای به حداقل و یا حداقل‌تر ممکن تغییر نموده و بر روی نمایشگر ظاهر می‌گردد.

شماره رنگ‌های در نظر گرفته شده برای نمایش حداقل و حداقل‌تر روشنایی هر نقطه بر روی نمایشگر در زبان پاسکال O(سیاه) و ۱۵ (سفید) می‌باشد.

**۲- رسم تابع تجمعی نقاط تصویر بر حسب تغییر مکان**  
پس از اعمال یک صافی زیرگذر بر روی تصویر، کلیه نقاط دارای ارزشی معادل یک برای نقاط سیاه و صفر

برای نقاط سفید می‌شوند. تابع  $y = f(x)$  نشان دهنده مقدار عددی هر نقطه بر حسب فاصله از لبه شکل است. برای به دست آوردن تابع تجمعی ابتدا نمودار فراوانی نقاط در محور  $y$  به کمک رابطه ذیل به دست می‌آید (شکل ۳):

$$D(y) = \sum_{i=1}^n f(x_i, y) \quad (1)$$

که در این رابطه  $D(y)$  نشان دهنده تعداد نقاط سیاه قرار گرفته روی خط افقی در هر  $y$  و  $n$  تعداد نقاط افقی تصویر است. اکنون می‌توان نمودار تابع تجمعی مورد نظر را به کمک رابطه زیر رسم نمود (شکل ۴):

$$I(y) = \frac{\sum_{i=1}^y D(y_i)}{\sum_{j=1}^m D(y_j)} \quad (2)$$

این رابطه که حاصل تقسیم تعداد نقاط سیاه تصویر از ابتدا تا  $y$  مورد نظر، بر کل نقاط سیاه تصویر می‌باشد، تجمع نسبی نقاط تصویر را به صورت بدون بعد بیان می‌دارد.

در رابطه (۲)،  $m$  تعداد نقاط عمودی تصویر است. مشخص است که  $I(y) = 0$  در  $y = 0$  برابر صفر و در  $y = m$  برابر یک خواهد بود. شکل (۵) نشانگر رسم تابع  $I(y)$  روی یک تصویر نخ است.

همانگونه که مشخص است رفتار تابع  $I(y)$  در محدوده بدن اصلی نخ به علت ثابت باقی ماندن تراکم، یک رفتار خطی است و لذا بهترین معیار جهت تشخیص مرزهای نخ است.

#### ۳- تعیین نقاط مرزی

برای به دست آوردن مرزهای نخ ابتدا تابع  $I(y)$  از دو جهت رسم گردیده و سپس مختصات محل تلاقی آنها که تقریباً مرکز نخ می‌باشد، مشخص می‌گردد. چنانچه به کمک این نقطه و دو نقطه مجاور آن روی هر منحنی، معادله یک خط به کمک روش رگرسیون به دست آید، در این صورت معادله خط به صورت زیر خواهد شد:

$$I_1(y) = A \cdot y + B \quad (3)$$

$$A = \frac{\sum I_i \sum y_i - \sum I_i y_i}{(\sum y_i)^2 - \sum y_i^2}, B = \frac{\sum I_i - A \sum y_i}{N}$$

در حالیکه  $i = 1, 2, 3$

در رابطه (۳)،  $1 = i$  و  $3 = i$  مربوط به نقاط مجاور نقطه تلاقی دو منحنی و  $2 = i$  مربوط به نقطه تلاقی دو منحنی است.تابع ( $y$ )  $I_1$  قسمت خطی تابع ( $y$ )  $I$  است. اکنون برای به دست آوردن مختصات نقاط مرزی کافی است دو نقطه در طرفین ۲ نقطه تلاقی ( $i = 2$ ) به گونه‌ای پیدا شوند که فاصله آنها با خط قابل توجه باشد.

$$y = y_m \text{ (نقطه مرزی)} \Rightarrow \text{بنابر این } 0.05 > \frac{I_1(y_m) - I(y_m)}{I(y_m)}$$

عدد  $0 / 0.5$  در معادله فوق به عنوان معیار انحراف منحنی از خط، تطبیق بسیار خوبی با مشاهده بصری در تشخیص مرز نخ دارد. با به دست آوردن ۲ نقطه برای هر منحنی به خوبی می‌توان بدنه نخ را مشخص نمود.

#### ۴-۲-۲- محاسبات و گزارش نتایج

با اتصال هر دو نقطه از چهار نقطه به دست آمده که در یک طرف نخ قرار دارند و امتداد آنها تا انتهای تصویر نخ، بدنه اصلی نخ با یک مستطیل شبیه سازی می‌گردد (شکل ۶). با مشخص کردن مقدار عرض این مستطیل بر حسب نقطه تصویر (پیکسل) و مقایسه آن با تعداد نقاط تشکیل دهنده قطر یک میله (نمونه شاهد) با ضخامت معین، قطر نخ بر حسب میلیمتر و با دقت  $1 / 0.05$  میلیمتر محاسبه می‌گردد.

پس از تعیین قطر نخ، از طریق تقسیم تعداد کل نقاط تشکیل دهنده تصویر نخ به تعداد نقاط قرار گرفته در هسته نخ، مشخصه پرزآلودگی تعیین می‌گردد (شکل ۶). بدیهی است در روش ارائه شده میزان بزرگنمایی تصویر بر روی هیچکدام از نتایج قطر و میزان پرزآلودگی تأثیر نخواهد داشت.

#### ۳- اندازه‌گیری و بررسی نتایج

جهت ارزیابی صحت کارکرد مجموعه سخت افزاری و نرم افزاری تهیه شده، آزمایش‌هایی بر روی نمونه‌های نخ پنبه‌ای رینگ با نمره ۲۴ تکس که تحت سرعت‌های دوک متفاوتی تولید شده بودند، انجام گرفت و نتایج حاصل از نقاط نظرهای مختلف مورد بحث بحث قرار گرفت. علت انتخاب سرعت‌های متفاوت، تولید نخ‌هایی با موئینگی‌های متفاوت بوده است.

**۱-۲-۳- دقت و تکرارپذیری نتایج در روش ارائه شده**  
جهت آزمون تکرارپذیری نتایج قطر و میزان پرزآلودگی، از هفت بسته نخ متفاوت در سه نوبت و در هر نوبت ۱۰ نمونه اتفاقی مورد آزمایش قرار گرفت. فاصله نوبت دوم از اول ۳ ساعت و فاصله نوبت سوم از دوم ۷۲ ساعت در نظر گرفته شد و در هنگام آزمایش نیز تغییرات مختصری در محل قرارگیری نمونه، نورپردازی، کشیدگی نخ و نیز افقی بودن مسیر نخ انجام گرفت تا به این ترتیب شرایط محیطی و تنظیمات متفاوت و اجتناب ناپذیر برای کاربر یا کاربرها در موقع مختلف، شبیه سازی گردد.

نتایج اندازه‌گیری‌های قطر و میزان پرزآلودگی به صورت آماری مورد تجزیه و تحلیل قرار گرفت (جدول های ۱ و ۲). نتایج حاصل بیانگر آن است که ضریب نایکنواختی های (۷۶%) به دست آمده برای نخ‌های مختلف، در روش ارائه شده با دقت بسیار بالایی تکرار پذیر بوده و تأثیر شرایط متفاوت بر آنها قابل توجه نمی‌باشد.

#### ۲-۳- مقایسه نتایج حاصل از روش چشمی و روش ارائه شده

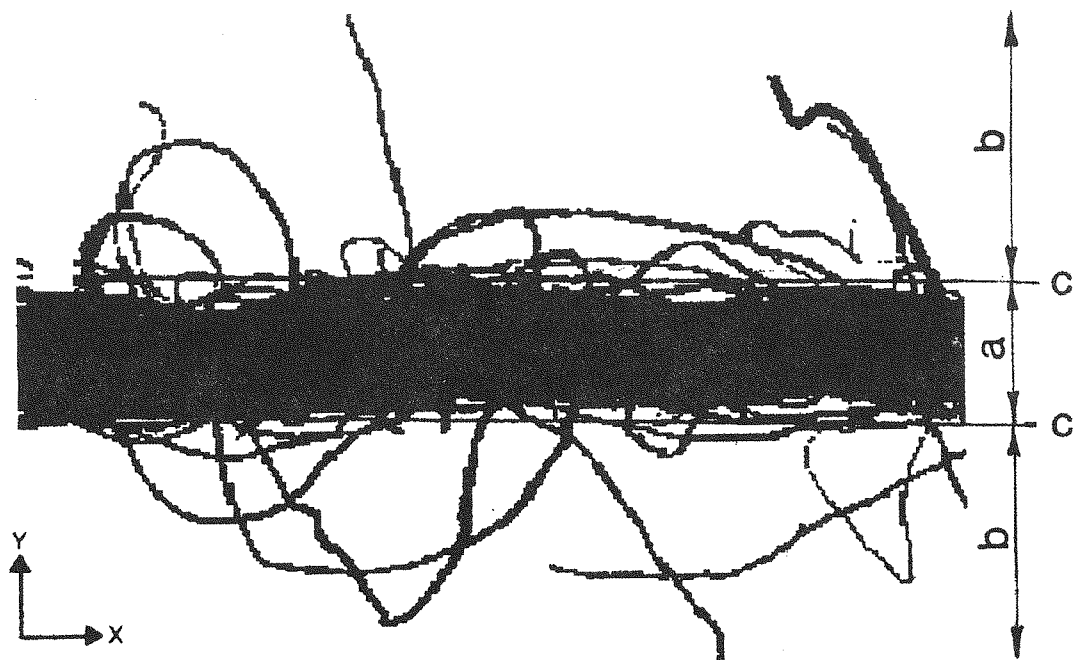
جهت بررسی نتایج اندازه‌گیری قطر از طریق روش چشمی و کامپیوتری از هفت نمونه نخ انتخابی، ۲۰ نمونه تصادفی توسط چهار آزمایشگر (جدول ۳) و نیز نمونه‌های دیگر توسط مجموعه تهیه شده (جدول ۱)، مورد آزمایش قرار گرفت و میزان نایکنواختی اندازه‌گیری دو روش با هم مقایسه گردید (جدول ۴). همانگونه که مشاهده می‌شود نایکنواختی اندازه‌گیری در روش چشمی به مراتب بیشتر از نایکنواختی اندازه‌گیری بینایی کامپیوتری می‌باشد.

#### ۳- نتیجه‌گیری

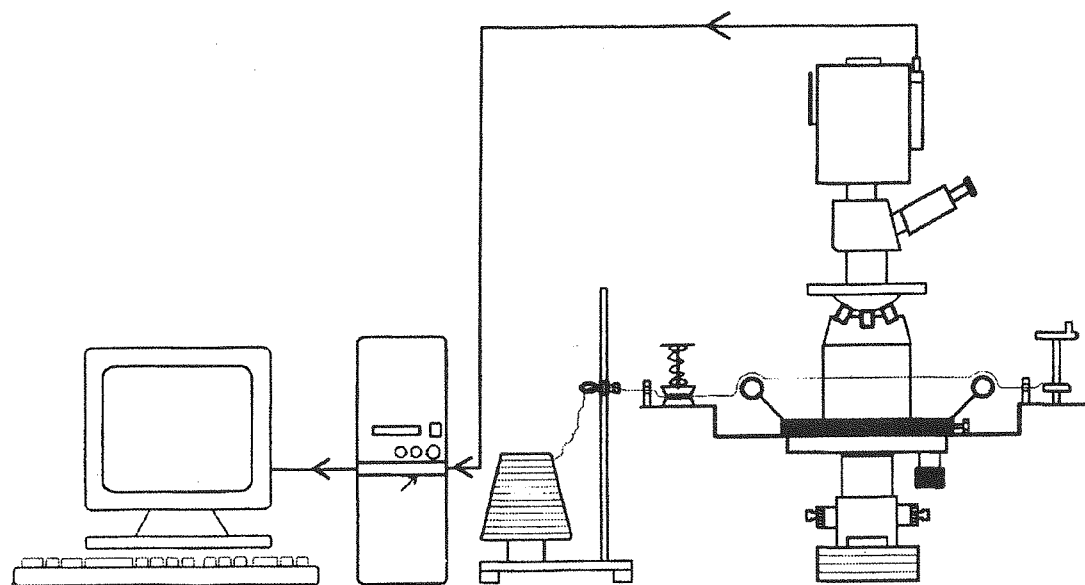
بررسی نتایج به دست آمده گویای آن است که روش پردازش تصاویر با کمک توابع جمعی، جهت تعیین نواحی خطی و غیرخطی منحنی ایجاد شده، موجب تولید نتایج تکرارپذیر با دقت بالا می‌گردد و می‌تواند به صورت گسترده در تحقیقات نساجی به ویژه در مواردی که احتیاج به مشاهده مستقیم می‌باشد، به کار گرفته شود. با استفاده از روش فوق در اندازه‌گیری قطر نخ و تعیین پرزآلودگی، تنها یک عدد برای قطر و یک عدد جهت میزان پرزآلودگی در طول یک نمونه به دست می‌آید

در مقایسه با روش چشمی مشخص گردید که می توان به کمک ابزار تهیه شده به کاهش میزان خطا، امکان نمونه گیری زیاد بدون صرف انرژی انسانی ، کاهش زمان آزمایش و افزایش سرعت ارزیابی، دست یافت.

در نتیجه نیاز به متوسط گیری های نامفهوم که در روش های دیگر رایج است، نمی باشد. بررسی نتایج حاصل از روش ارائه شده همچنین گویای آن است که اندازه گیری ها با دقت و تکرار پذیری بالا همراه می باشد.



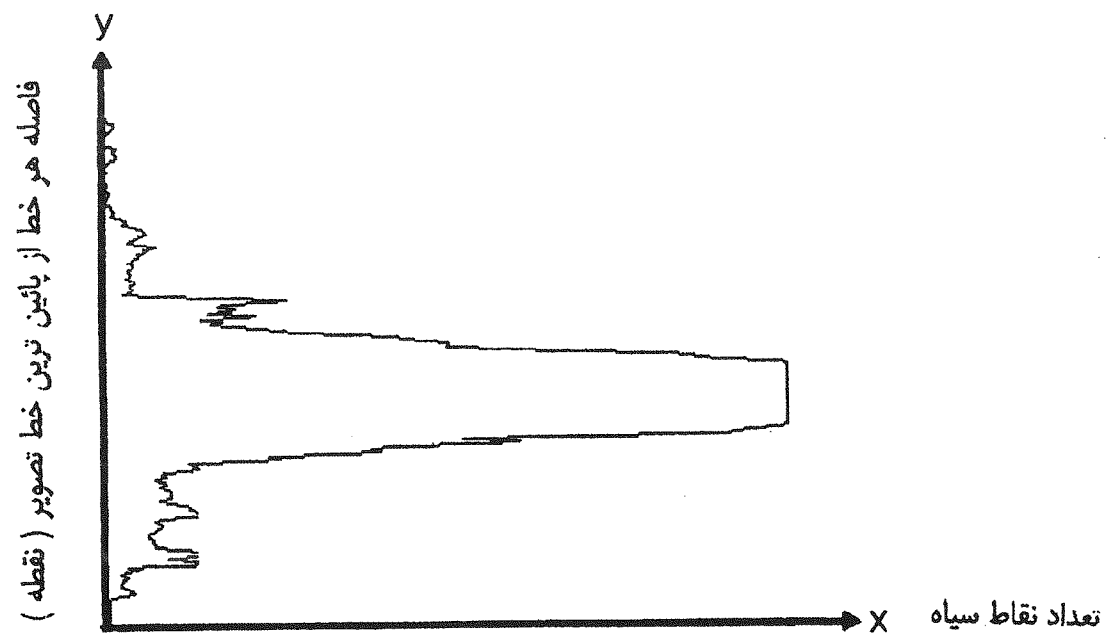
شکل (۱) قسمت های مختلف نخ.



شکل (۲) نمودار مجموعه دریافت و ضبط تصویر.

جدول (۱) نتایج اندازه‌گیری قطر توسط مجموعه تهیه شده.

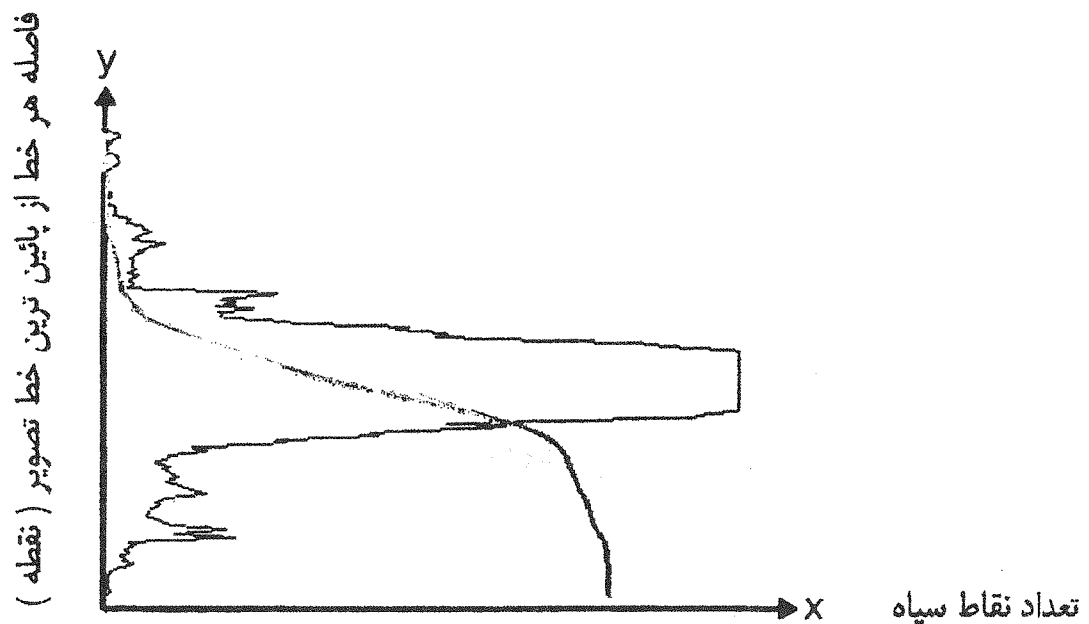
| نوبت آزمایش<br>پارامتر دوک | نوبت اول              | نوبت دوم              | نوبت سوم              | مجموع                 |
|----------------------------|-----------------------|-----------------------|-----------------------|-----------------------|
| (m.m.) AVE                 | 0.225                 | 0.226                 | 0.227                 | 0.226                 |
| 1 $\sigma^2$               | $1.49 \times 10^{-5}$ | $5.12 \times 10^{-4}$ | $1.71 \times 10^{-5}$ | $1.63 \times 10^{-5}$ |
| CV%                        | 1.72                  | 1.83                  | 1.82                  | 1.78                  |
| AVE                        | 0.31                  | 0.31                  | 0.31                  | 0.31                  |
| 2 $\sigma^2$               | $5.94 \times 10^{-6}$ | $5.83 \times 10^{-6}$ | $7.41 \times 10^{-7}$ | $3.9 \times 10^{-6}$  |
| CV%                        | 0.775                 | 0.774                 | 0.276                 | 0.63                  |
| AVE                        | 0.20                  | 0.20                  | 0.20                  | 0.20                  |
| 3 $\sigma^2$               | $9.1 \times 10^{-7}$  | $4.44 \times 10^{-8}$ | $7.9 \times 10^{-8}$  | $3.79 \times 10^{-7}$ |
| CV%                        | 0.48                  | 0.28                  | 0.14                  | 0.31                  |
| AVE                        | 0.22                  | 0.22                  | 0.22                  | 0.22                  |
| 4 $\sigma^2$               | $5.57 \times 10^{-6}$ | $4.21 \times 10^{-6}$ | $6.66 \times 10^{-6}$ | $1.22 \times 10^{-6}$ |
| CV%                        | 1.07                  | 0.92                  | 1.17                  | 1.04                  |
| AVE                        | 0.33                  | 0.33                  | 0.33                  | 0.33                  |
| 5 $\sigma^2$               | $1.17 \times 10^{-6}$ | $1.11 \times 10^{-6}$ | 7.1x<br>0.25          | $1.22 \times 10^{-6}$ |
| CV%                        | 0.33                  | 0.32                  | 0.33                  |                       |
| AVE                        | 0.21                  | 0.21                  | 0.21                  | 0.21                  |
| 6 $\sigma^2$               | $5.20 \times 10^{-7}$ | $2.33 \times 10^{-7}$ | 0<br>0                | $5.35 \times 10^{-7}$ |
| CV%                        | 0.34                  | 0.23                  | 0                     | 0.34                  |
| AVE                        | 0.20                  | 0.20                  | 0.20                  | 0.20                  |
| 7 $\sigma^2$               | $1.98 \times 10^{-6}$ | $1.8 \times 10^{-6}$  | $4.70 \times 10^{-7}$ | $9.02 \times 10^{-7}$ |
| CV%                        | 0.70                  | 0.67                  | 0.35                  | 0.47                  |



شکل (۳) نمودار فراوانی نقاط تصویر نخ.

جدول (۲) نتایج اندازه گیری های میزان پرزآلودگی توسط مجموعه تقویه شده.

| نوبت آزمایش<br>پارامتر هاک | نوبت اول                         | نوبت دوم              | نوبت سوم              | مجموع                 |
|----------------------------|----------------------------------|-----------------------|-----------------------|-----------------------|
| 1                          | (ind.) AVE 1.69                  | 1.68                  | 1.69                  | 1.69                  |
|                            | $\sigma^2$ $2.33 \times 10^{-3}$ | $602 \times 10^{-3}$  | $9.49 \times 10^{-3}$ | $9.38 \times 10^{-3}$ |
|                            | CV% 0.28                         | 0.47                  | 0.562                 | 0.57                  |
| 2                          | AVE 1.53                         | 1.52                  | 1.54                  | 1.53                  |
|                            | $\sigma^2$ $1.21 \times 10^{-4}$ | $1.28 \times 10^{-4}$ | $4.89 \times 10^{-5}$ | $1.27 \times 10^{-4}$ |
|                            | CV% 0.72                         | 0.75                  | 0.45                  | 0.74                  |
| 3                          | AVE 1.76                         | 1.75                  | 1.75                  | 1.75                  |
|                            | $\sigma^2$ $4.56 \times 10^{-5}$ | $1.66 \times 10^{-4}$ | $8.89 \times 10^{-5}$ | $1.03 \times 10^{-4}$ |
|                            | CV% 0.38                         | 0.73                  | 0.54                  | 0.58                  |
| 4                          | AVE 10.72                        | 1.72                  | 1.73                  | 1.72                  |
|                            | $\sigma^2$ $7.83 \times 10^{-4}$ | $3.21 \times 10^{-4}$ | $7.11 \times 10^{-4}$ | 1.72                  |
|                            | CV% 1.63                         | 1.04                  | 0.48                  | 1.14                  |
| 5                          | AVE 1.33                         | 1.34                  | 1.34                  | 1.34                  |
|                            | $\sigma^2$ $1.06 \times 10^{-4}$ | $1.15 \times 10^{-4}$ | $1.78 \times 10^{-5}$ | $1.10 \times 10^{-4}$ |
|                            | CV% 0.78                         | 0.80                  | 0.31                  | 0.78                  |
| 6                          | AVE 1.51                         | 1.51                  | 1.53                  | 1.52                  |
|                            | $\sigma^2$ $1.6 \times 10^{-4}$  | $1.07 \times 10^{-4}$ | $2.78 \times 10^{-5}$ | $1.43 \times 10^{-4}$ |
|                            | CV% 0.84                         | 0.68                  | 0.35                  | 0.79                  |
| 7                          | AVE 1.46                         | 1.46                  | 1.46                  | 1.46                  |
|                            | $\sigma^2$ $3.22 \times 10^{-5}$ | $2.33 \times 10^{-5}$ | $1.78 \times 10^{-4}$ | $7.40 \times 10^{-5}$ |
|                            | CV% 0.39                         | 0.33                  | 0.91                  | 0.59                  |

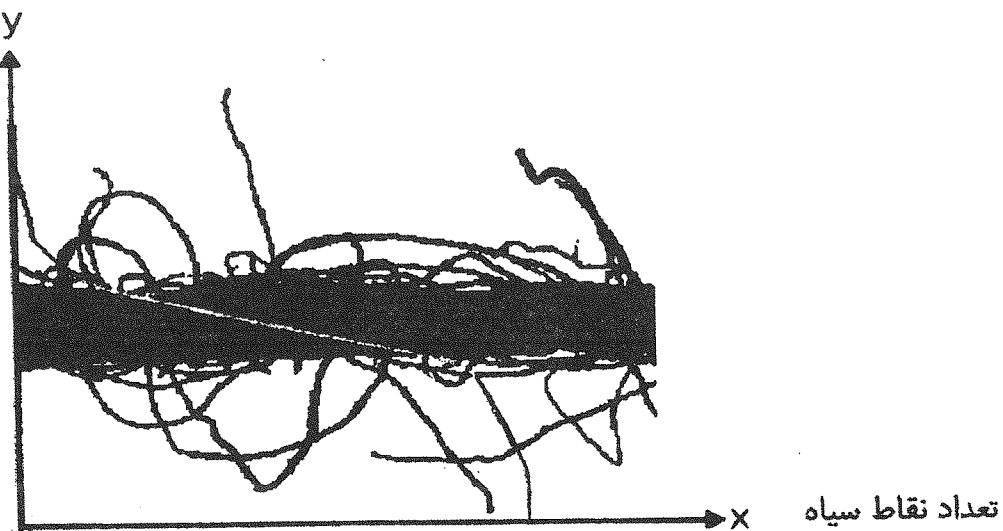


شکل (۳) نمودار فراوانی نقاط تصویر نخ و نمودار تابع تجمعی آنها

جدول (۳) نتایج اندازه‌گیری‌های قطر توسط روش چشمی.

| دوک \ آزمایشگر | نفر اول                             | نفر دوم               | نفر سوم               | نفر چهارم              |
|----------------|-------------------------------------|-----------------------|-----------------------|------------------------|
| ۱              | $(m.m.)AVE$<br>۰.۲۱۱                | ۰.۲۲                  | ۰.۲۲۴                 | ۰.۲۲۸                  |
|                | $\sigma^2$<br>$0.00083$             | $6.48 \times 10^{-4}$ | $4.91 \times 10^{-4}$ | $6.88 \times 10^{-4}$  |
|                | $CV\%$<br>۱۳.۷۱                     | ۱۲.۰۳                 | ۹.۸۹                  | ۱۱.۵۸                  |
| ۲              | $AVE$<br>۰.۲۴۵                      | ۰.۲۲۲                 | ۰.۲۳۹                 | ۰.۲۴۱                  |
|                | $\sigma^2$<br>$8.32 \times 10^{-4}$ | $6.83 \times 10^{-4}$ | $8.49 \times 10^{-4}$ | $9.81 \times 10^{-4}$  |
|                | $CV\%$<br>۱۱.۷۸                     | ۱۱.۷۸                 | ۱۲.۱۹                 | ۱۳.۰                   |
| ۳              | $AVE$<br>۰.۲۴۳                      | ۰.۲۱۰                 | ۰.۲۴۰                 | ۰.۲۲۲                  |
|                | $\sigma^2$<br>$9.72 \times 10^{-4}$ | $4.71 \times 10^{-4}$ | $1.18 \times 10^{-3}$ | $1.053 \times 10^{-3}$ |
|                | $CV\%$<br>۱۲.۸۳                     | ۱۰.۳۳                 | ۱۴.۳۱                 | ۱۴.۶۲                  |
| ۴              | $AVE$<br>۰.۲۳۵                      | ۰.۲۳۰                 | ۰.۲۲۷                 | ۰.۲۲۲                  |
|                | $\sigma^2$<br>$1.18 \times 10^{-3}$ | $5.62 \times 10^{-4}$ | $5.88 \times 10^{-4}$ | $5.60 \times 10^{-4}$  |
|                | $CV\%$<br>۱۴.۶۰                     | ۱۰.۳۱                 | ۱۰.۶۸                 | ۱۰.۶۶                  |
| ۵              | $AVE$<br>۰.۲۱۳                      | ۰.۲۵۸                 | ۰.۲۳۰                 | ۰.۲۶۴                  |
|                | $\sigma^2$<br>$8.10 \times 10^{-4}$ | $7.97 \times 10^{-4}$ | $9.08 \times 10^{-4}$ | $1.44 \times 10^{-3}$  |
|                | $CV\%$<br>۱۳.۳۶                     | ۱۰.۹۴                 | ۱۳.۱۰                 | ۱۴.۳۶                  |
| ۶              | $AVE$<br>۰.۲۲۰                      | ۰.۲۱۷                 | ۰.۲۱۷                 | ۰.۲۲۰                  |
|                | $\sigma^2$<br>$1.12 \times 10^{-3}$ | $1.07 \times 10^{-3}$ | $7.73 \times 10^{-4}$ | $7.56 \times 10^{-4}$  |
|                | $CV\%$<br>۱۵.۲۳                     | ۱۵.۰۷                 | ۱۲.۸۲                 | ۱۲.۵۰                  |
| ۷              | $AVE$<br>۰.۲۳۴                      | ۰.۲۰۶                 | ۰.۲۱۷                 | ۰.۲۲۷                  |
|                | $\sigma^2$<br>$1.62 \times 10^{-3}$ | $5.45 \times 10^{-4}$ | $9.33 \times 10^{-4}$ | $1.70 \times 10^{-3}$  |
|                | $CV\%$<br>۱۷.۲۱                     | ۱۱.۳۳                 | ۱۴.۰۸                 | ۱۸.۱۸                  |

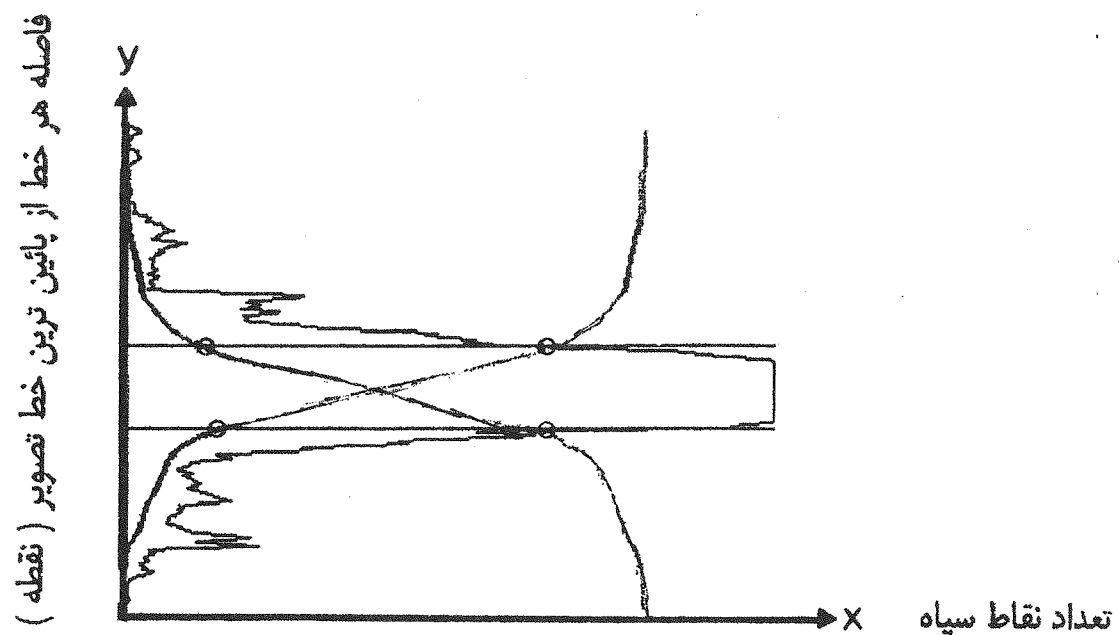
فاصله هر خط از پائین ترین خط تصویر ( نقطه )



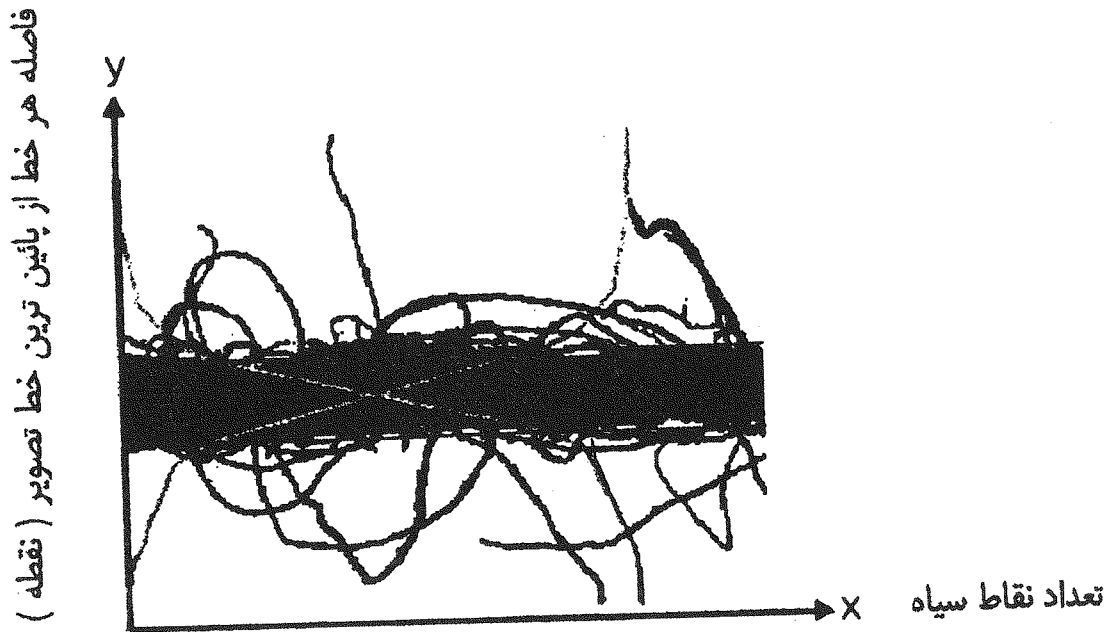
شکل (۵) نمودار تابع تجمعی نقاط تصویر نخ در ارتباط با تصویر نخ

جدول (۳) مقایسه ضریب نایکنواختی اندازه گیری قطر توسط مجموعه تهیه شده و روش چشمی.

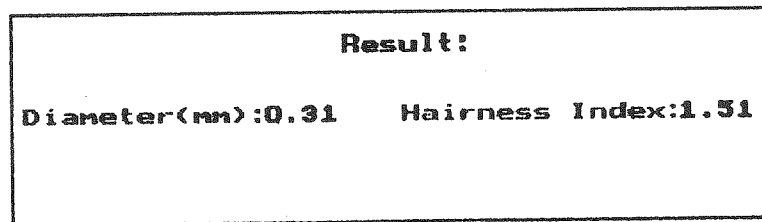
| دوك | نوع اندازه گیری | ضریب نایکنواختی اندازه گیری<br>چشمی | ضریب نایکنواختی اندازه گیری |
|-----|-----------------|-------------------------------------|-----------------------------|
|     |                 |                                     | مجموعه                      |
| ۱   |                 | 11.85                               | 1.78                        |
| ۲   |                 | 12.20                               | 0.63                        |
| ۳   |                 | 13.10                               | 0.31                        |
| ۴   |                 | 11.62                               | 1.04                        |
| ۵   |                 | 12.98                               | 0.33                        |
| ۶   |                 | 13.95                               | 0.34                        |
| ۷   |                 | 15.20                               | 0.47                        |



الف - شبیه سازی بدنه اصلی نخ.



ب - مطابقت مستطیل شبیه سازی شده با بدنه اصلی نخ.



ج - گزارش قطر نخ و مشخصه بروآوردگی.

شکل (۶) شبیه سازی بدنه نخ با استفاده از نمودارها و تصویر نخ و گزارش نتایج.

## مراجع

- [1] A. Barella, 'The Hairiness of Yarn', Textile Progress, Vol 24, No 3.
- [2] R. Pijanowski, Przeglad wlok, 1987, 41, 7.
- [3] P. w. Harrison, Text Horiz 1991, 11, No. 8. 14.
- [4] A. Barella., a. Egio, L. Castro and A.M. Manich., Melliland Textilber, 1989, 70, 557 (E237)
- [5] T. Furukawa., Daily News Rec. 1990, 20, 4 sept., 12.
- [6] M. Bona., 'La Qualita nel Tessile' , Paravia, Turin, ITALY, 1992.
- [7] Sarabi P., Gusick G.E., Kennon W. R., x Broadbent A.D., 'Measurement of yarn Diameter Periodic Variability' , Internaional conference on Fiber and Textile Science, pp. 197-202, 1991.
- [8] Lin H.C., 'A study on Measurement of the yarn's Diameter by Image Process', the 3rd Asian Textile conference, vol I, pp. 499-505, 1995.
- [۹] کرباسی پ. و لطیفی م..، اندازه گیری قطر نخ و تعیین نایکنواختی قطری آن (در فاصله ای محدود) با استفاده از بینایی کامپیوتري، کنفرانس علوم و تکنولوژي نساجی، ص ۲۱۷ - ۲۱۱، ۱۳۷۶.